

RGB-D SLAM

姜翰青
商汤科技研究院
浙大-商汤三维视觉联合实验室



目录

- RGB-D 传感器
- RGB-D 相机跟踪
- 模型表示与重建
- RKD-SLAM
- 产业化应用

RGB-D 传感器

RGB-D 传感器

- Kinect、Xtion、ZED、Tango等等



Kinect



Xtion

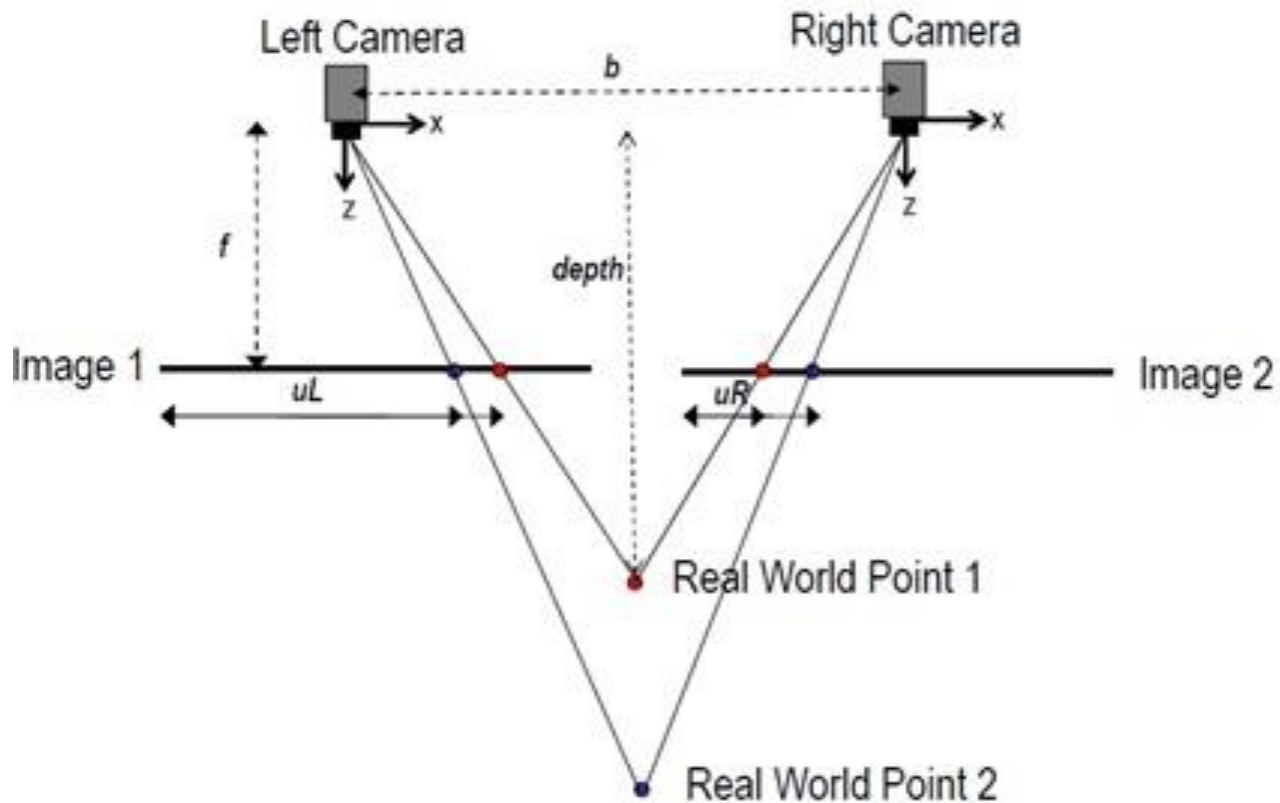
RGB-D 传感器

- 按工作原理分类：
 - 双目方案
 - ZED
 - Tango
 - 结构光方案
 - Kinect v1
 - Xtion
 - TOF方案
 - Kinect v2
 - RealSense



双目

- 立体匹配



结构光

- 主动投影已知图案的方法来实现快速鲁棒的匹配特征点

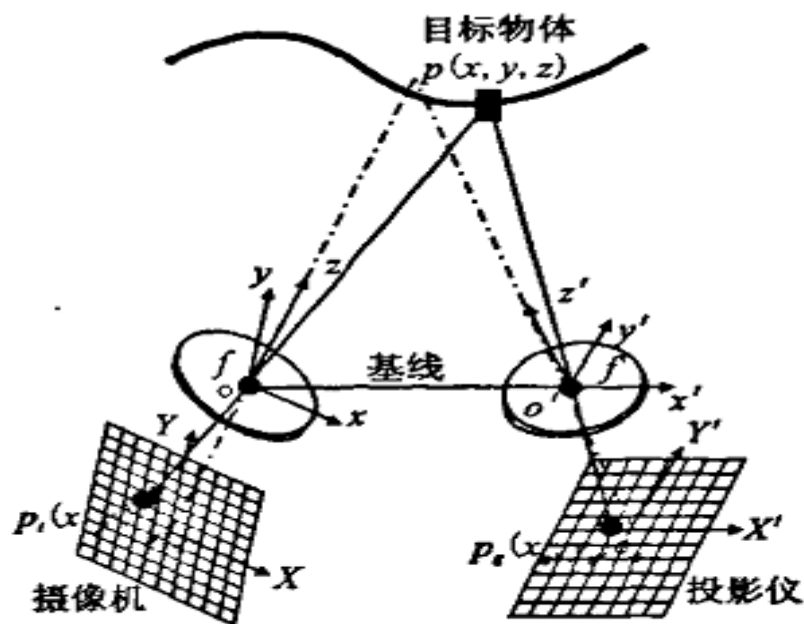
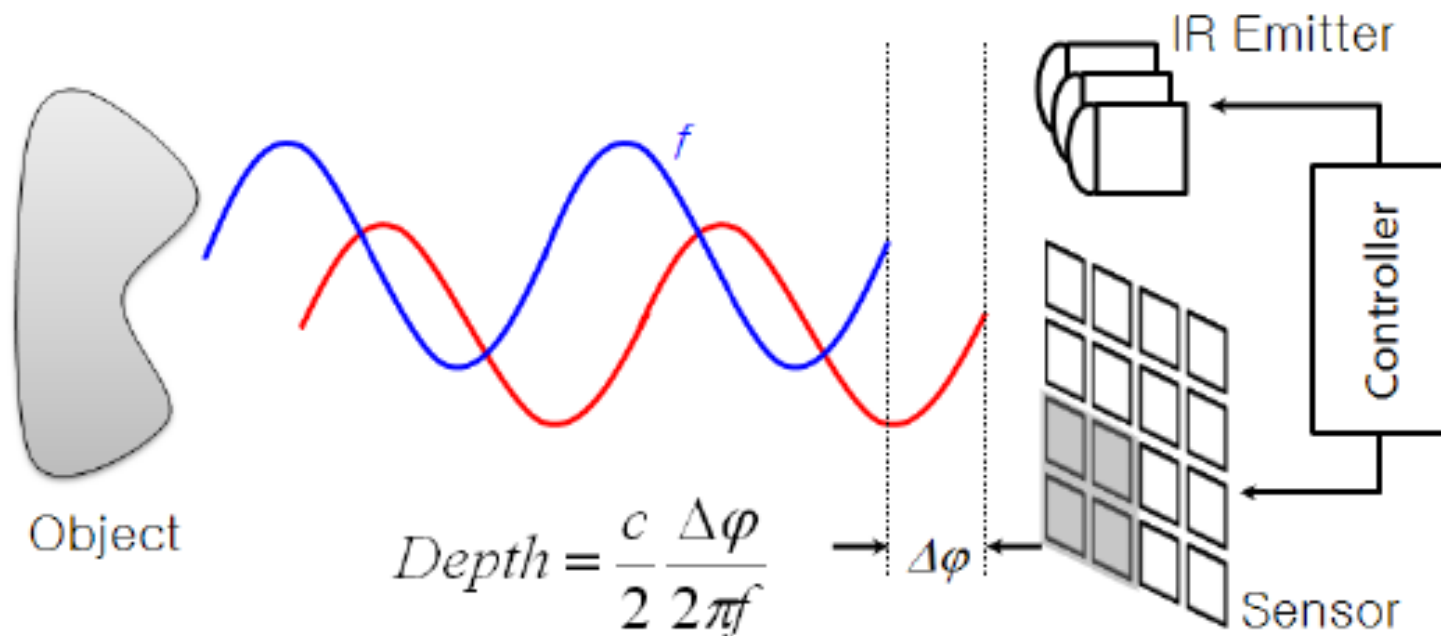


图 1 结构光三维视觉透视模型

TOF

- 测量发射与反射红外信号的相位延迟，计算每个 sensor 像素到目标物体的距离



RGB-D 传感器

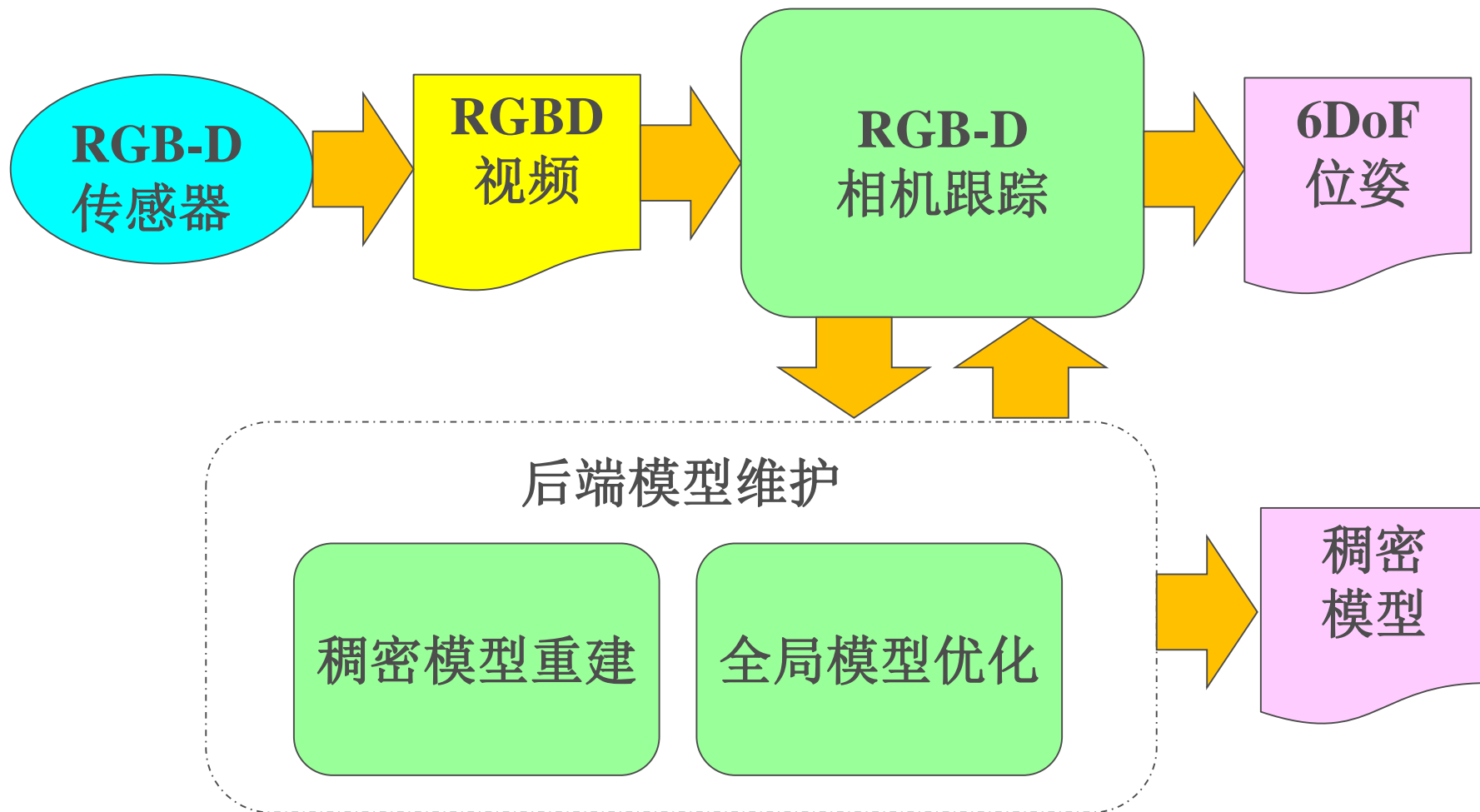
- 各方案的优劣

- 双目：成本最低，但深度信息依赖纯软件算法得出，算法复杂度高，计算性能要求高，受光照等影响。
- 结构光：技术成熟，深度图像分辨率可以做得比较高，但容易受光照影响，室外环境基本不能使用。
- TOF：抗干扰性能好，视角更宽，深度图像分辨率较低，不适合高精度场合。受环境影响小，传感器芯片并不成熟，成本很高。

RGB-D 传感器

- 使用RGB-D 传感器优点是不需要计算特征点和描述子，就可以直接得到稠密或半稠密的深度图。
- 框架也相对传统SLAM 简单，可分为前端RGB-D 相机跟踪与后端模型重建。

RGB-D SLAM算法流程



RGB-D 相机跟踪

RGB-D 相机跟踪

- 特征点法
- ICP
- RGB-D 对齐

RGB-D 相机跟踪

- 特征点法

- 包含了传统的RGB信息，也可以使用特征点匹配求解相机位姿。
- 一般场景都能提供丰富的特征点，场景适应性较好，能够利用特征点进行重定位。
- 缺点是特征点计算法耗时；特征点利用到的信息太少，丢失了图像中的大部分信息和深度信息，在弱纹理环境下特征少等

RGB-D 相机跟踪

- 直接法

- 包含了传统的RGB信息，也可以使用直接法求解相机位姿
- 优点是不需要计算特征描述子，可以得到稠密或半稠密的地图；在特征缺失时也可正常使用
- 缺点灰度不变假设在实际环境中不一定成立，要求像机运动速度不能太快，不能自动曝光等

RGB-D 相机跟踪

- 迭代最邻近算法 (ICP)
 - 该算法重复进行选择对应关系点对，计算最优刚体变换，然后应用变换，再寻找对应关系点对，计算新的最优变换，直到满足正确配准的收敛精度要求
 - 充分利用了深度图点云信息，利用点云的几何结构特征，不依靠RGB特征与光度

ICP (Iterative Closest Point)

- 目标

给定两组点云 $P =$

$\{p_1, p_2, \dots, p_m\}$, $Q =$

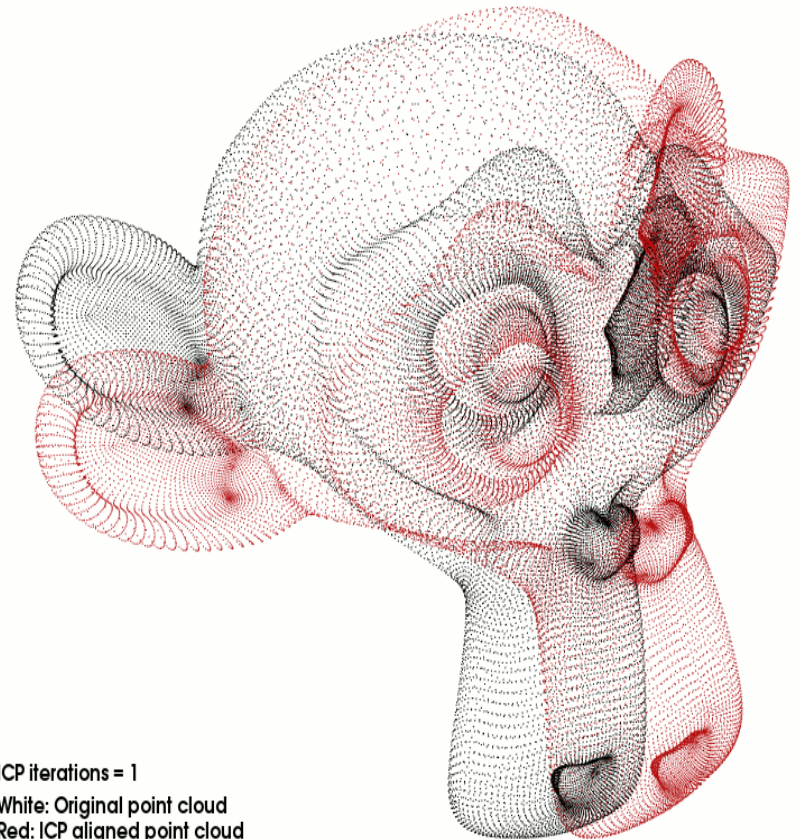
$\{q_1, q_2, \dots, q_n\}$, 求解两组点云

之间的变换 T 使得下式得到

最优解:

$$T_{opt} = \arg \min_{\{T, A\}} \sum_{i=1}^m cost(T(p_i), q_{A(i)})$$

cost是代价函数，度量匹配的误差



- 步骤

- 固定相对变换 T , 求解最优的对应关系 A , 这一步即所谓的数据关联 (data association)

$$A = \arg \min_A \sum_{i=1}^m cost(T(p_i), q_{A(i)})$$

- 固定匹配关系 A , 求解最优的相对变换 T :

$$T = \arg \min_T \sum_{i=1}^m cost(T(p_i) - q_{A(i)})$$

ICP

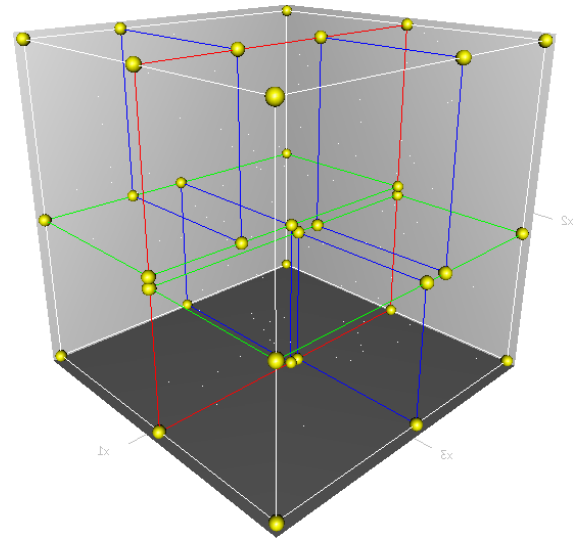
- 取样：选择一个或两个网格上的部分点作为样本
- 匹配：建立样本点的数据关联关系
- 置权：给关联样本点对设置权重
- 过滤：对不符合条件的关联点对做删除
- 误差度量：给关联点对设置误差度量
- 最优化：最优化误差度量

ICP Variants

- 取样
 - Uniform Sampling
 - Random Sampling
 - Normal Space Sampling
 - 选择样本点使得样本点法向散布最大

ICP Variants

- Data association
 - Closet point
 - K-D Tree
 - Normal shooting



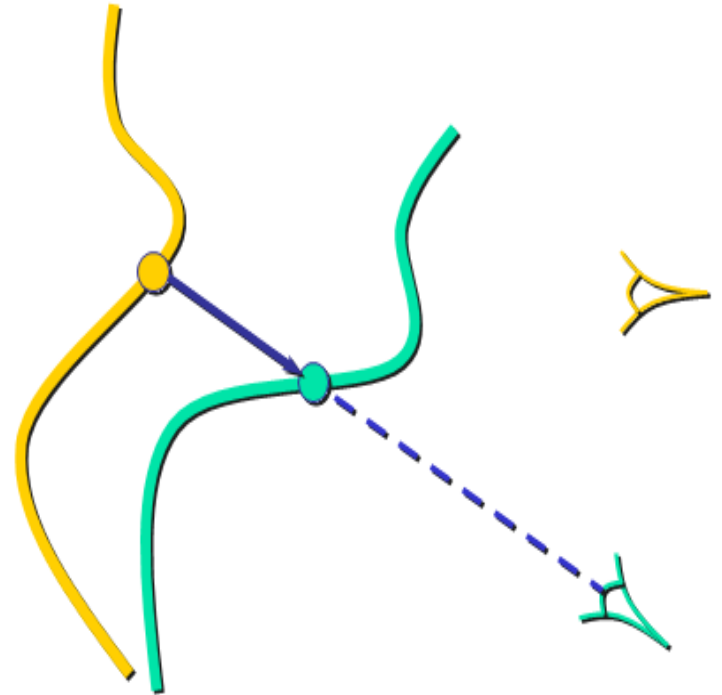
https://en.wikipedia.org/wiki/K-d_tree

ICP Variants

- Data association
 - Project
 - project and walk

$$x(u_d, v_d, 1) = KM X_s$$

K 是相机内参数, X_s 是待求匹配点的三维空间坐标, x 是匹配点像素坐标, M 是两帧之间的位姿变换, 在 ICP 算法中通过不断迭代求得



ICP Variants

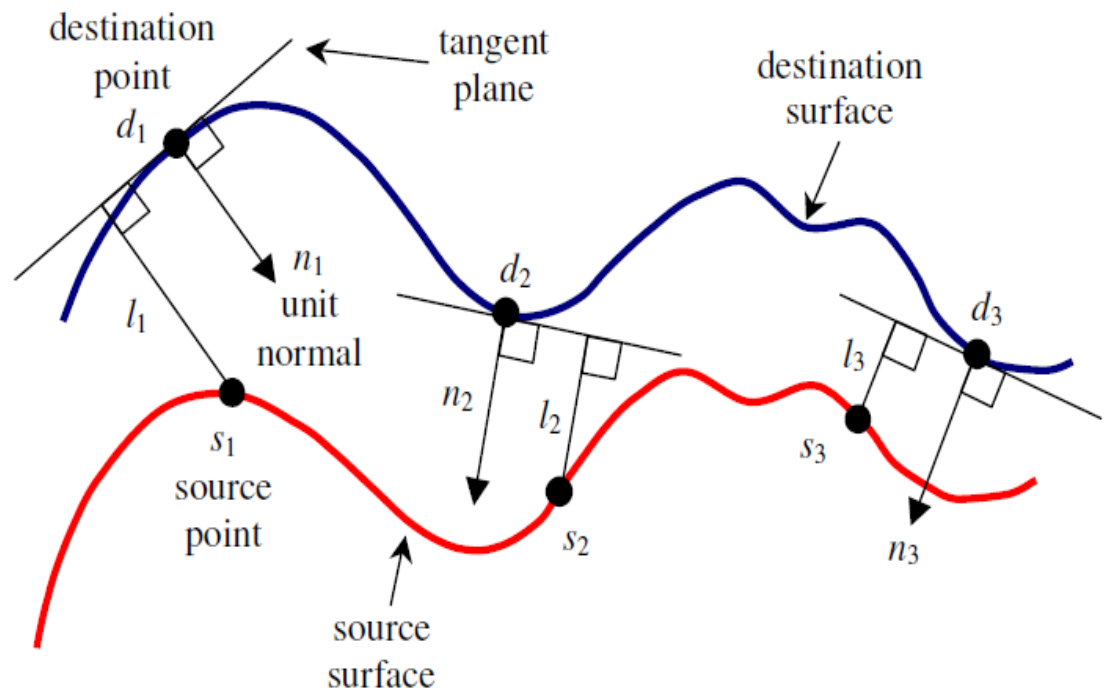
- 权值设置
 - Constant weight
 - Linear with distance
 - Compatibility of normals
 - Uncertainty
 - 基于相机噪声的权值设置

ICP Variants

- 过滤准则
 - 距离超过固定门限的关联点对删除
 - 距离最大的n%关联点对删除
 - 距离超过2.5倍标准差的关联点对删除

ICP Variants

- 误差度量
 - point-to-point
 - point-to-plane



Low K L. Linear least-squares optimization for point-to-plane icp surface registration[J]. Chapel Hill, University of North Carolina, 2004, 4: 1.

- 缺点

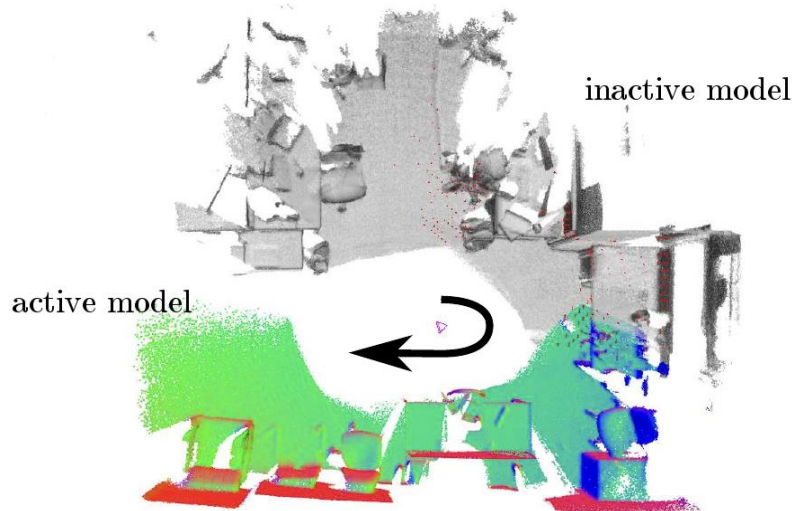
- 对位姿初值很敏感，需要有较好的初值
- 只利用了深度信息，没有利用RGB信息

ICP算法举例: KinectFusion

- Convert the depth image into
 - Vertex map
 - Normal map
- Pyramid ICP
 - Projective data association
 - Remove outliers by normal direction and distance
 - Minimize point to plane distance

ICP算法举例：ElasticFusion

- Frame-to-model ICP based on surfels
- A time window divides the model into active/inactive part
 - A surfel is active if it is most recent update time t
- Only active surfels are used to do camera pose estimation and depth map fusion



RGB-D 对齐

- 通过最小化逆深度误差和光度误差来求解两帧之间的相对相机姿态
 - 几何误差

$$E_z = \sum_{x_i} \rho_z \left(\frac{1}{z(X_j)} - Z_j(x_j) \right)$$

$z(X_j)$ 代表点 X_j 在第 i 帧上的深度, $Z_j(x_j)$ 代表第 j 帧的深度图上点 X_j 的投影位置 x_j 对应的深度。 ρ_z 是相应的鲁棒化函数。

RGB-D 对齐

- 相对于ICP算法, RGB-D对齐不仅考虑到了深度信息的几何误差, 还考虑了光度误差
- 光度误差

$$E_I = \sum_{x_i} \rho_I (I_i(x_i) - I_j(x_j))$$

$I_i(x_i)$ 代表第*i*帧上 x_i 对应的光度。 ρ_I 是相应的鲁棒化函数

- 总能量函数

$$\arg \min_T E_{align} = E_Z + \alpha * E_I$$

RGB-D对齐算法举例: BundleFusion

- Correspondence Filtering



Consistent Correspondence

$$\text{Reproj Err}(i, j) = \sum_k^{\text{\#pixels}} |(p_k - T_i^{-1} T_j \pi_d^{-1} (D_j(\pi_d(T_j^{-1} T_i p_k)))) \cdot n_k|$$

RGB-D对齐算法举例: BundleFusion

- Sparse-to-Dense Optimization

$$E(T) = w_{sparse} E_{sparse}(T) + w_{dense} E_{dense}(T)$$

$$E_{sparse}(T) = \sum_{i,j}^{\#frames} \sum_k^{\#corresp.} \|T_i p_{ik} - T_j p_{jk}\|_2^2$$



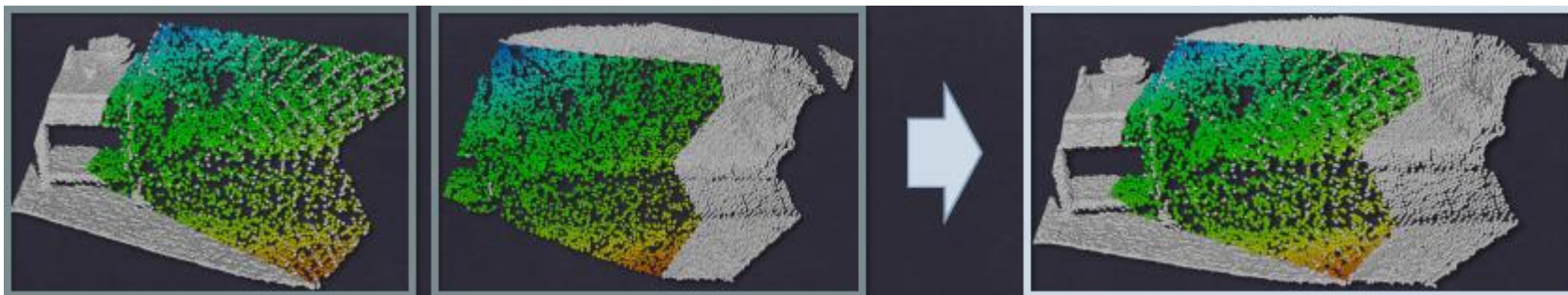
RGB-D对齐算法举例: BundleFusion

- Sparse-to-Dense Optimization

$$E(T) = w_{sparse}E_{sparse}(T) + w_{dense}E_{dense}(T)$$

$$E_{dense}(T) = w_{depth}E_{depth}(T) + w_{color}E_{color}(T)$$

$$E_{depth}(T) = \sum_{i,j}^{\text{\#frames}} \sum_k^{\text{\#pixels}} \|(p_k - T_i^{-1}T_j\pi_d^{-1}(D_j(\pi_d(T_j^{-1}T_ip_k)))) \cdot n_k\|_2^2$$



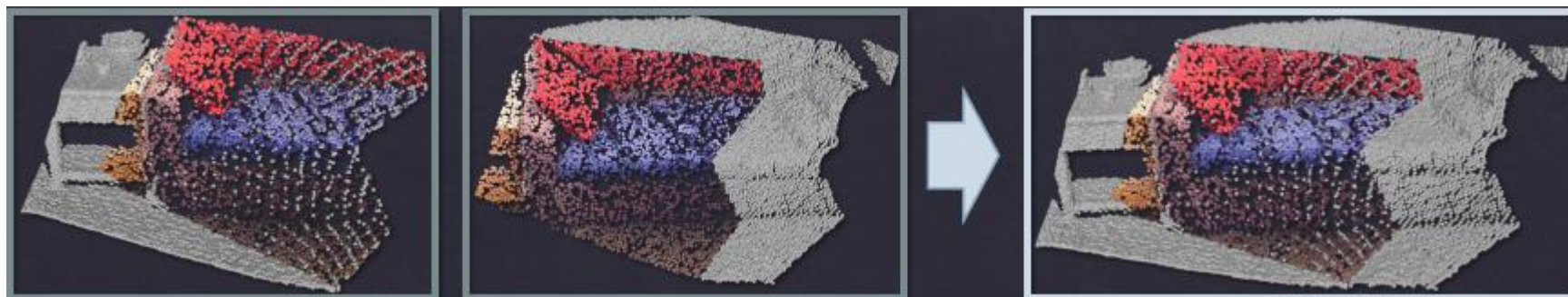
RGB-D对齐算法举例: BundleFusion

- Sparse-to-Dense Optimization

$$E(T) = w_{sparse}E_{sparse}(T) + w_{dense}E_{dense}(T)$$

$$E_{dense}(T) = w_{depth}E_{depth}(T) + w_{color}E_{color}(T)$$

$$E_{color}(T) = \sum_{i,j}^{\text{\#frames}} \sum_k^{\text{\#pixels}} \|\nabla I(\pi_c(p_k)) - \nabla I(\pi_c(T_j^{-1}T_i p_k))\|_2^2$$



模型表示与重建

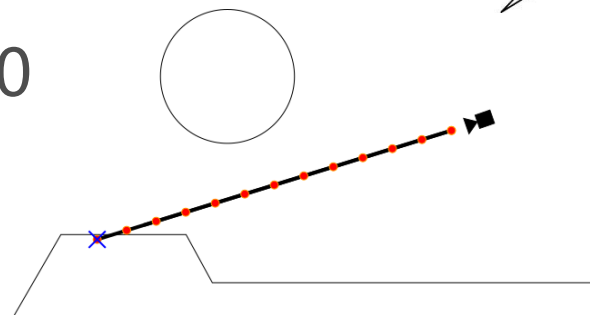
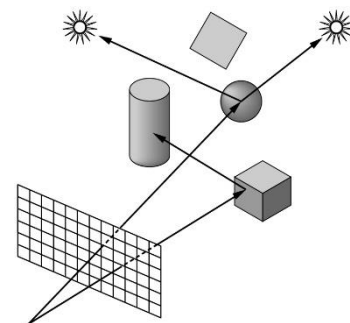
模型表示与重建

- 渐进式在线重建
- 可以支持在线高效更新
 - 网格表达不适合在线更新
- 两种常见模型表示
 - TSDF
 - Surfel
- 一些代表性算法
 - KinectFusion
 - Kintinuous
 - InfiniTAM
 - ElasticFusion
 - BundleFusion

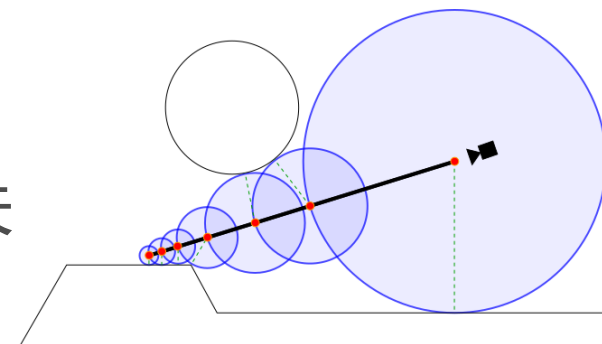
- 带符号距离函数(Signed Distance Function):
 - $\text{sdf}: R^3 \rightarrow R$
 - 对于点 p , $\text{sdf}(p)$ 记录了把它映射到最近表面的距离
 - $\text{sdf}(p)$ 为 0 的集合即为表面
- 截断带符号距离函数(Truncated Signed Distance Function)
 - 实际上, 对于三维重建而言, 我们仅仅需要找到SDF为0的点, 因此只有表面附近的点是有用的, 因此通常会对SDF进行截断, 不再存储离表面较远处点的SDF

TSDF: rendering by raycasting

- 渲染一个像素 x 时
 - 从相机中心投射一条射线，寻找它和模型的交点
 - 这个交点的TSDF函数值为0
- 一个简单的实现:
 - 采用固定步长



- 但是我们可以用TSDF来加速:
 - 渲染时间近似与图像的尺寸线性相关



基于TSDF的KinectFusion

SIGGRAPH Talks 2011

KinectFusion:

**Real-Time Dynamic 3D Surface
Reconstruction and Interaction**

**Shahram Izadi 1, Richard Newcombe 2, David Kim 1,3, Otmar Hilliges 1,
David Molyneaux 1,4, Pushmeet Kohli 1, Jamie Shotton 1,
Steve Hodges 1, Dustin Freeman 5, Andrew Davison 2, Andrew Fitzgibbon 1**

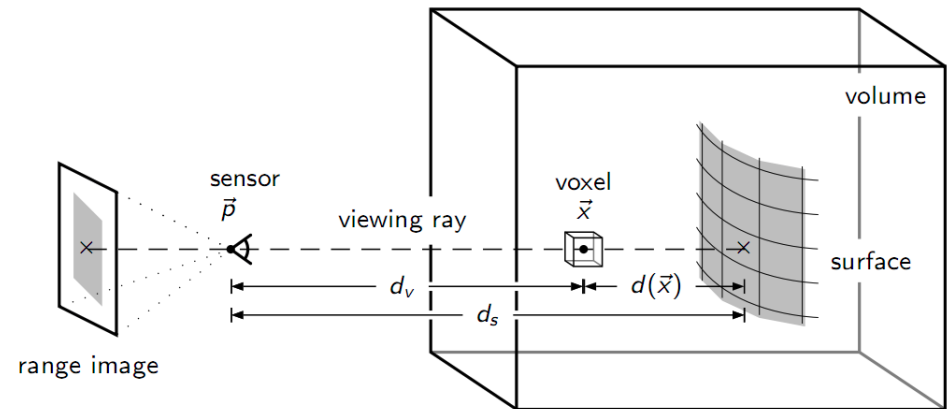
1 Microsoft Research Cambridge 2 Imperial College London

3 Newcastle University 4 Lancaster University

5 University of Toronto

基于TSDF的KinectFusion – Integration

- For each voxel
 - Project the voxel to image space
 - Compute the TSDF observation $d(x)$
 - Update by weighted sum



$$D(x) \leftarrow \frac{D(x) * W(x) + d(\vec{x})}{1 + W(x)}$$

$$W(x) \leftarrow W(x) + 1$$

基于TSDF的KinectFusion - Limitations

- Only use depth image
 - Robust to lighting
 - Works on dark environment
 - But not works on structureless scene
- High memory consumption
 - Each voxel takes 8 byte
 - A 2mx2mx2m scene, takes ~0.5GB at 5mm resolution (geometry only, double if add color)

TSDF的改进: Kintinuous

Kintinuous 2.0

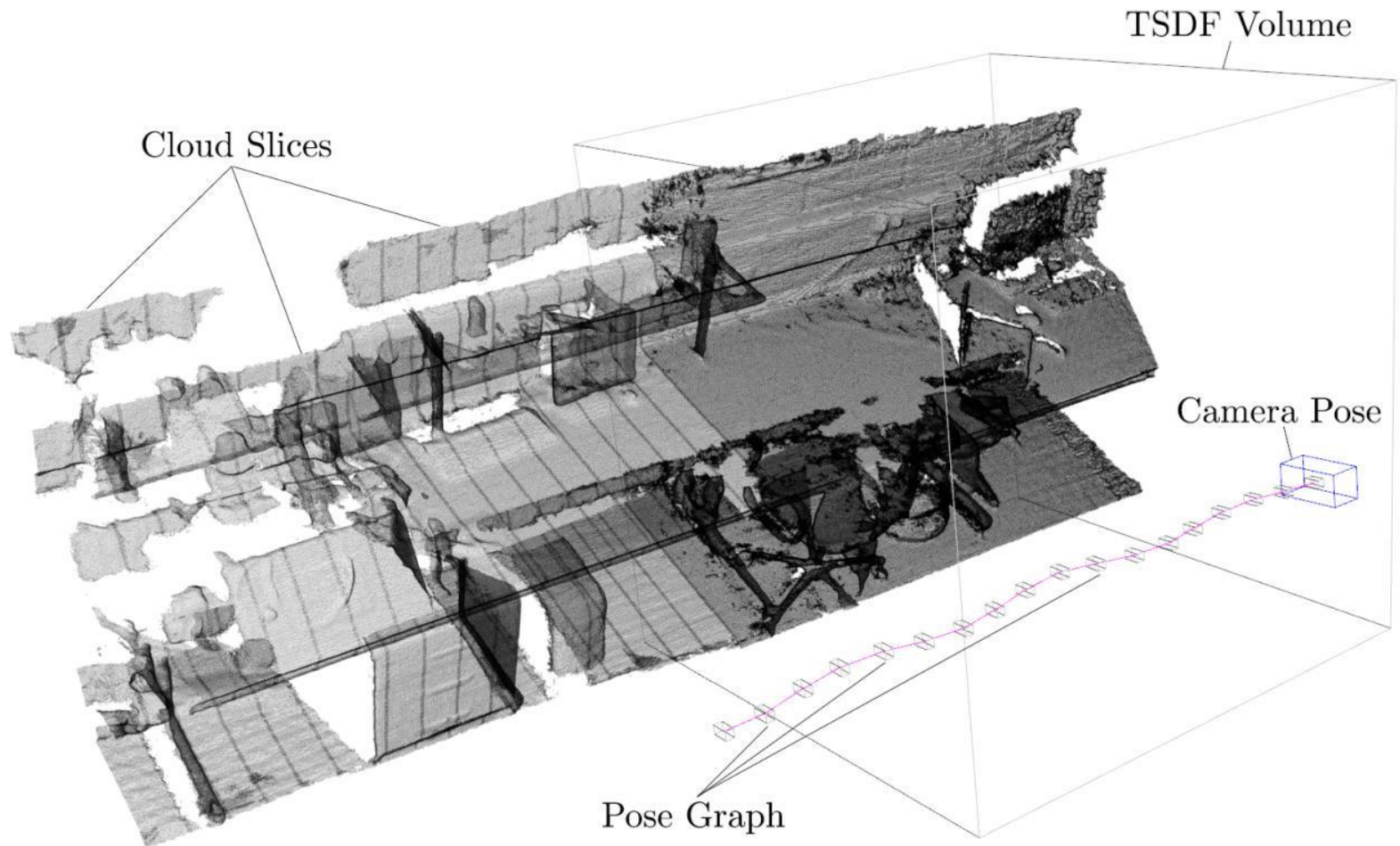
Real-time large scale dense loop closure with volumetric fusion mapping

Thomas Whelan*, Michael Kaess', John J. Leonard', John McDonald*

* Computer Science Department, NUI Maynooth

' Computer Science and Artificial Intelligence Laboratory, MIT

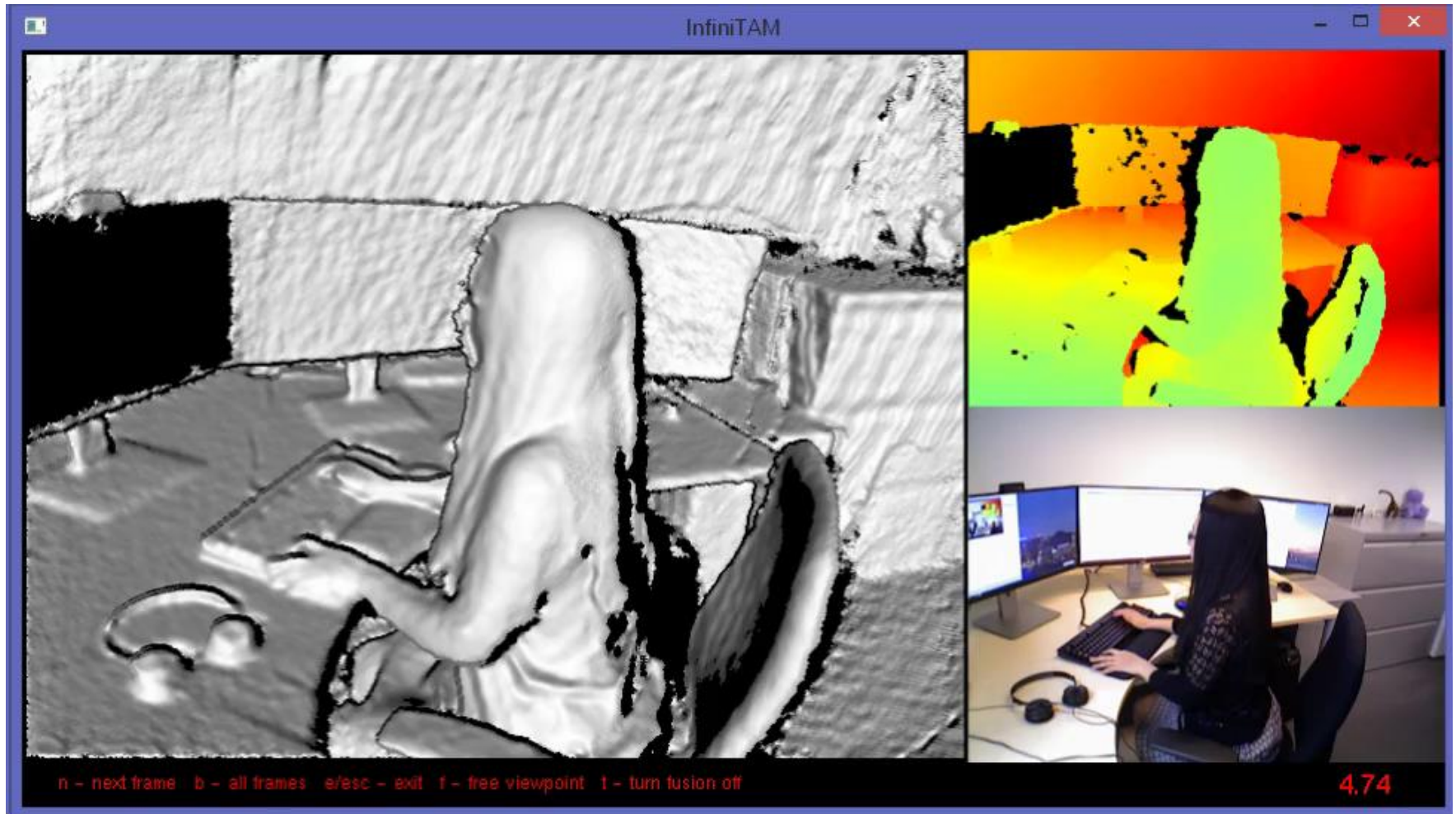
TSDF的改进: Kintinuous



Whelan T, Kaess M, Fallon M, et al. Kintinuous: Spatially extended kinectfusion[J]. 2012.

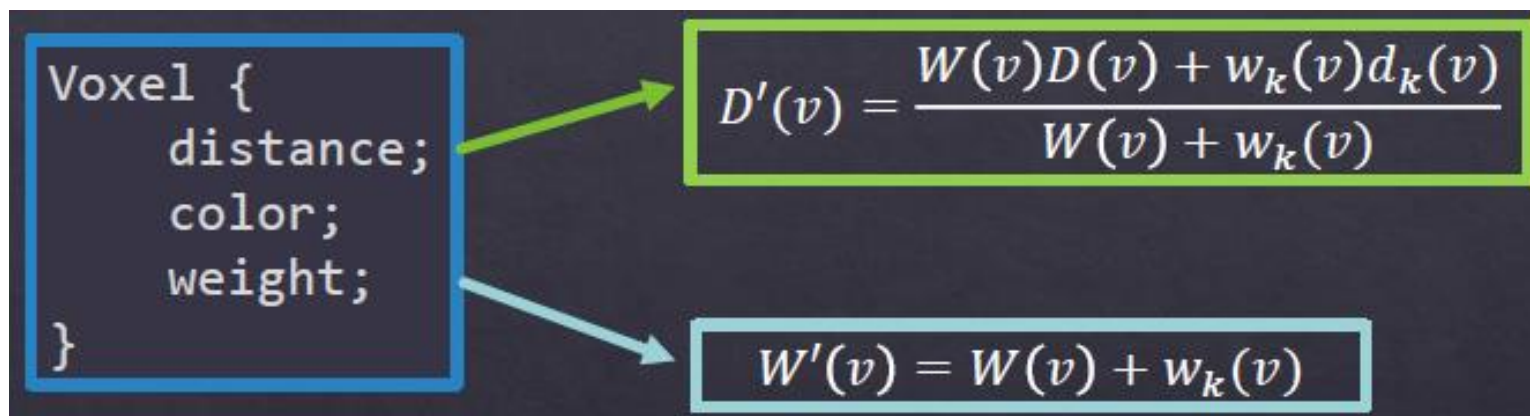
TSDF的改进: InfiniTAM

- Voxel Hashing



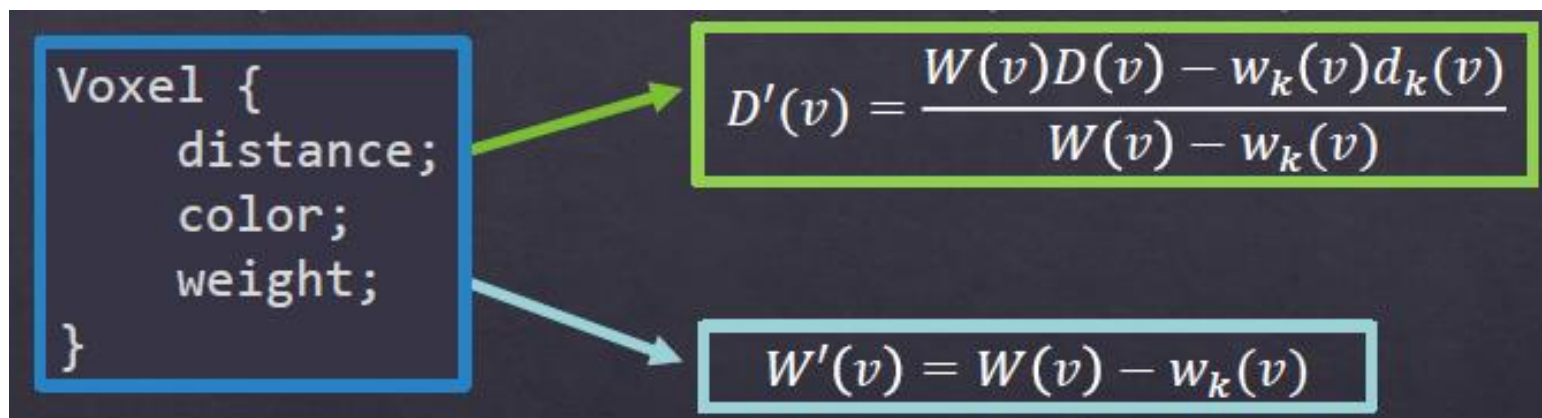
基于TSDF Re-integration的BundleFusion

- On-the-fly Scene Updates
 - Surface integration [Curless and Levoy 96]



基于TSDF Re-integration的BundleFusion

- On-the-fly Scene Updates
 - Surface De-integration



基于TSDF Re-integration的BundleFusion

- On-the-fly Scene Updates



基于TSDF Re-integration的BundleFusion

- On-the-fly Scene Updates



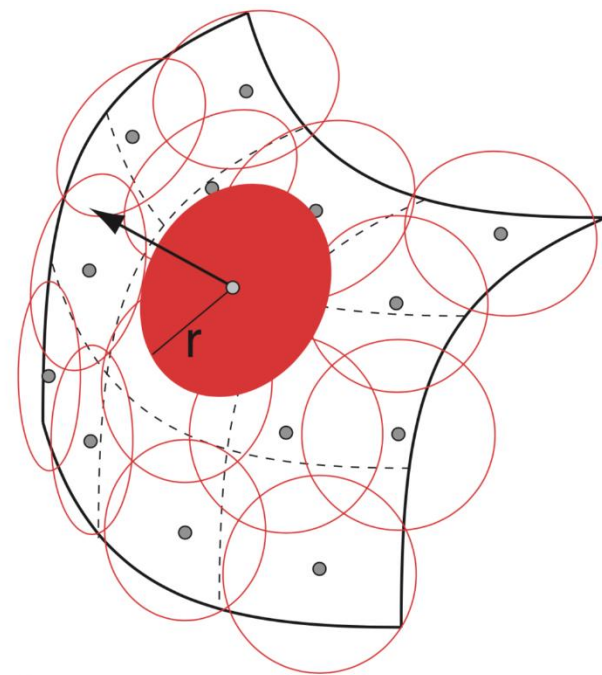
基于TSDF Re-integration的BundleFusion

- On-the-fly Scene Updates



Surfel

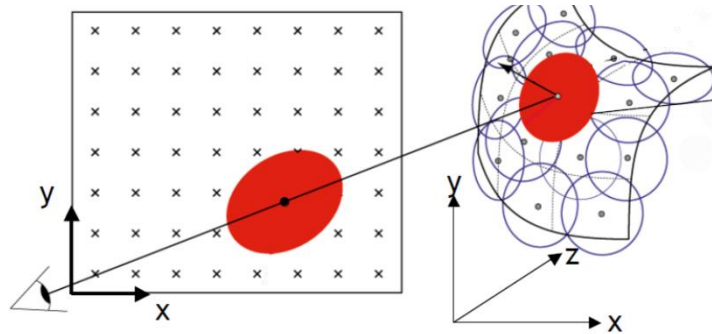
- Surfel: 表面的一个小的面元
- 几何属性
 - 位置
 - 法向
 - 半径
- 反射属性
 - 颜色
- model: 面元的集合



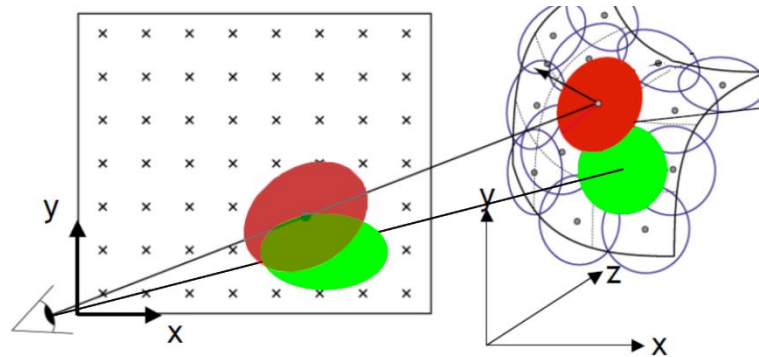
Pfister H, Zwicker M, Van Baar J, et al. Surfels: Surface elements as rendering primitives[C]//Proceedings of the 27th annual conference on Computer graphics and interactive techniques. ACM Press/Addison-Wesley Publishing Co., 2000: 335-342.

Surfel: splat rendering

- 渲染一个Surfel是非常简单的:

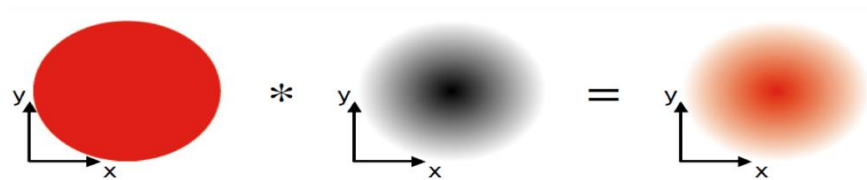


- 直接单独渲染一个Surfel是不行的，因为面元之间可能有重叠!

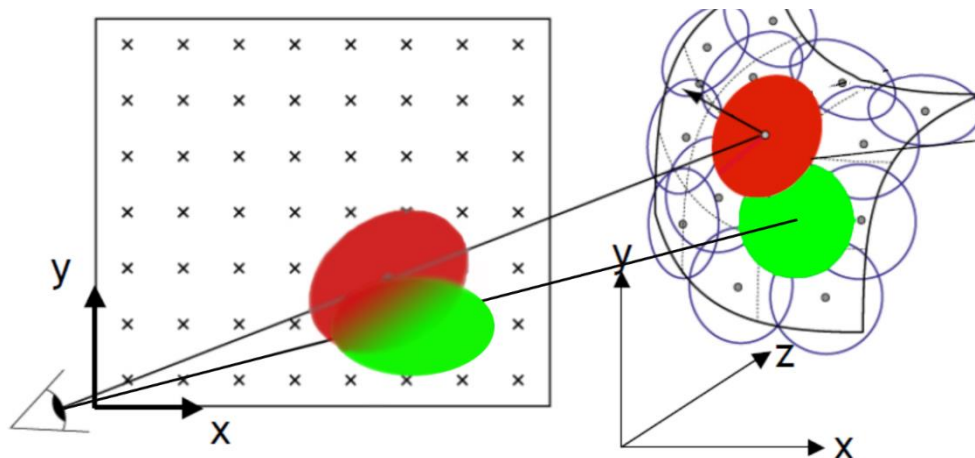


Surfel: splat rendering (cont.)

- 使用高斯核卷积



- 取加权和



基于Surfel的ElasticFusion

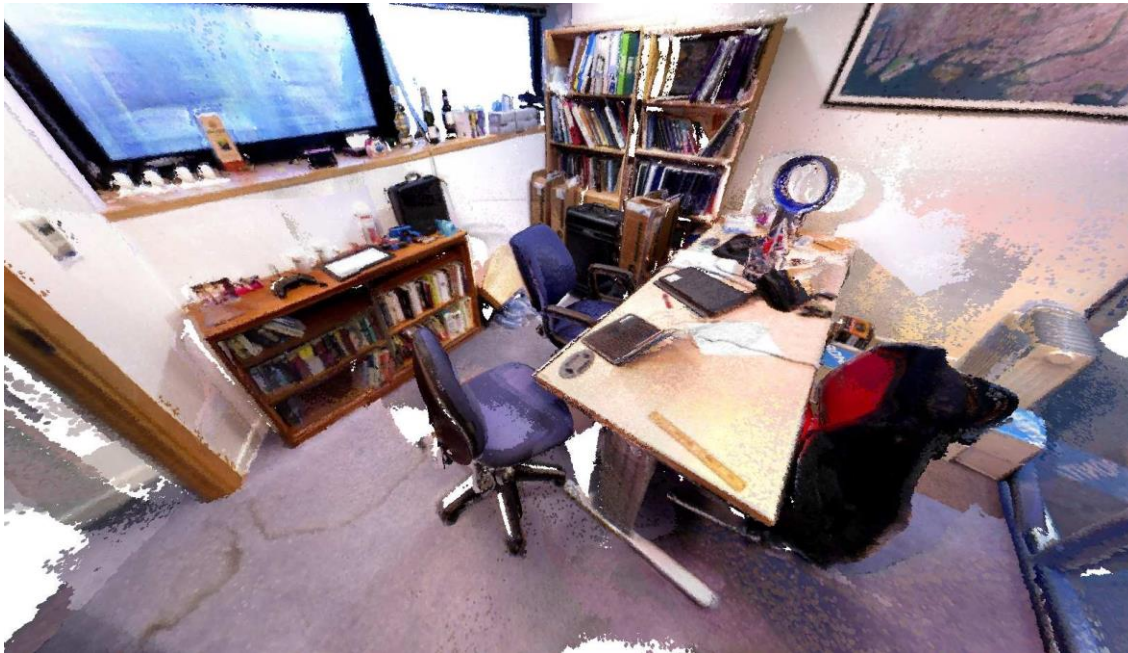
ElasticFusion: Dense SLAM Without A Pose Graph

Thomas Whelan, Stefan Leutenegger, Renato Salas-Moreno, Ben Glocker, Andrew Davison

Imperial College London

基于Surfel的ElasticFusion

- Surfel based representation
- Support loop closure, online model adjustment



Thomas Whelan, Stefan Leutenegger, R Salas-Moreno, Ben Glocker, Andrew Davison. Elasticfusion: Dense slam without a pose graph[C]. Robotics: Science and Systems, 2015.

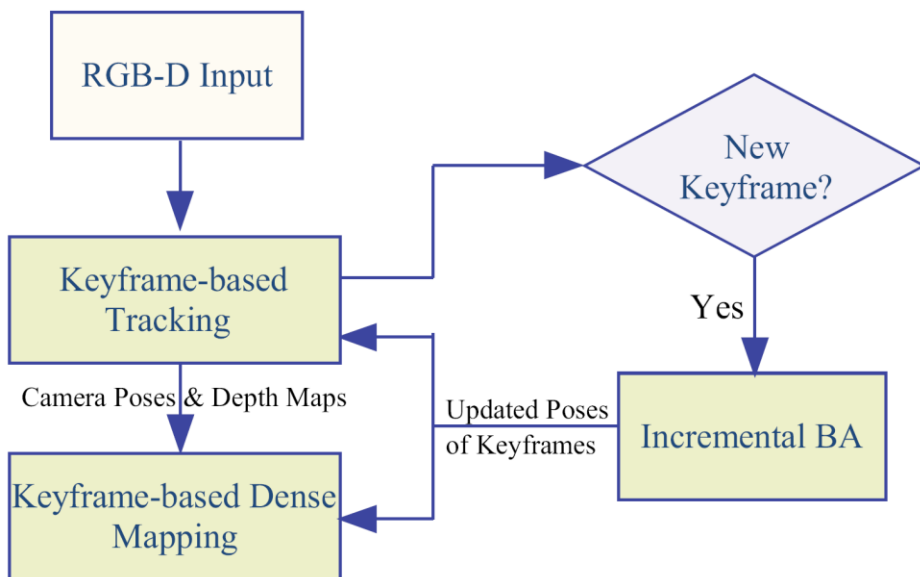
基于Surfel的ElasticFusion

- The model is an unordered list of Surfels
- Each surfel contains:
 - Position p
 - Normal n
 - Radius r
 - Color c
 - Confidence (how often it's observed)
 - Create timestamp t_0 , most recent update timestamp t

RKD-SLAM

RKD-SLAM系统框架

- 非常快速鲁棒的基于RGB-D的跟踪方法(单CPU下约70-200 fps)
- 非常快速的增量集束调整算法
- 非常高效的基于关键帧的深度表达和融合方法



支持快速运动、回路闭合、重定位和长时间运行

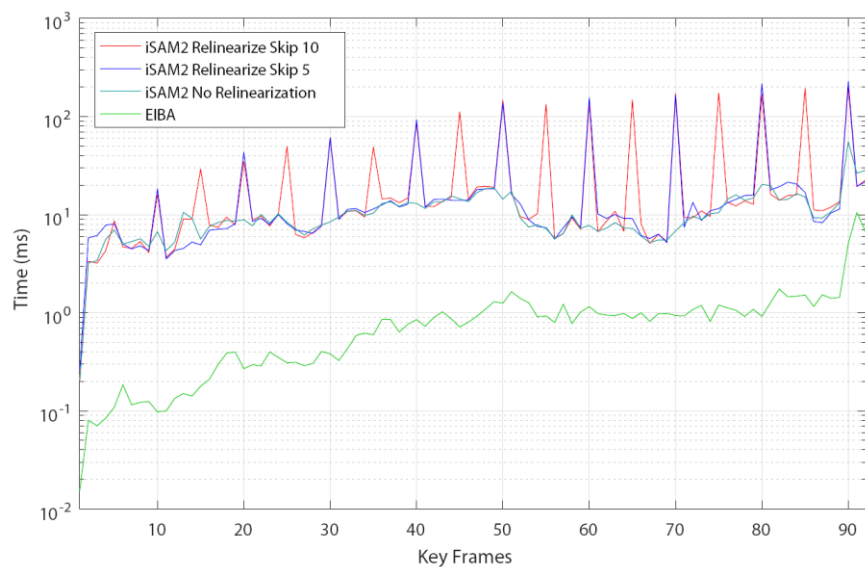
Efficient Incremental BA

- 提出了一个非常高效的Incremental Schur complement计算方法;
- 采用Preconditioned Conjugated Gradient进行求解, 比Factorization的方法要快;
- 速度比iSAM2快一个数量级

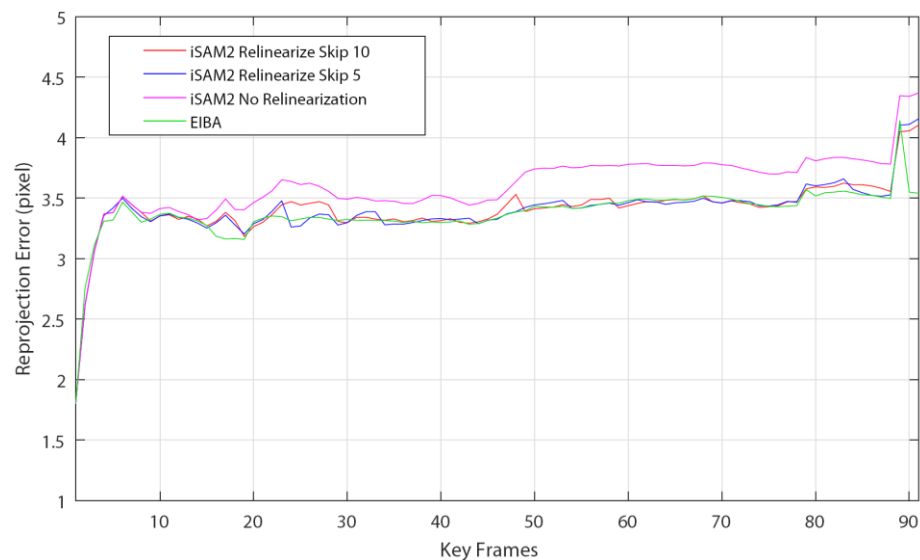
Sequence	Num. of Camera / Points	Num. of Observations	EIBA	iSAM2		
				No relinearization	relinearizeSkip = 10	relinearizeSkip = 5
fr3_long_office	92 / 4322	12027	88.9ms	983.9ms	1968.2ms	2670.9ms
fr2_desk	63 / 2780	6897	34.8ms	507.8ms	850.4ms	1152.0ms

Efficient Incremental BA

- 与iSAM2的对比



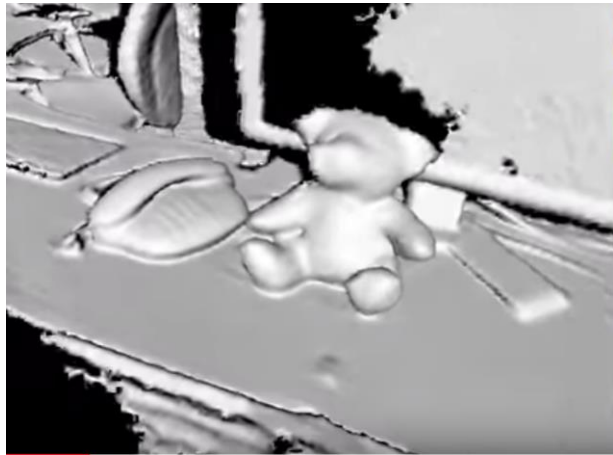
运行时间



Reprojection Error

Integration & De-integration

- 使用de-integration可以将模型复原到integration前



+



$$D'(\mathbf{v}) = \frac{D(\mathbf{v})W(\mathbf{v}) + w_i(\mathbf{v})d_i(\mathbf{v})}{W(\mathbf{v}) + w_i(\mathbf{v})}$$

$$W'(\mathbf{v}) = W(\mathbf{v}) + w_i(\mathbf{v}).$$

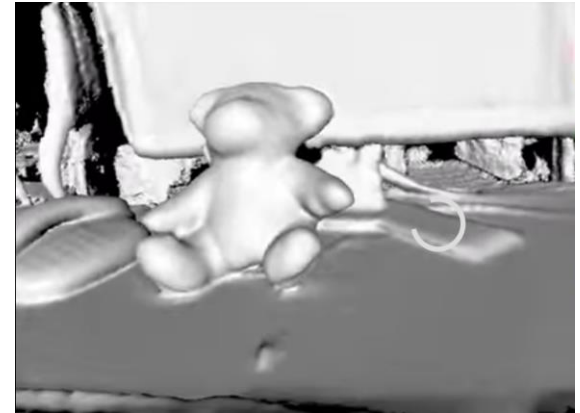


-



$$D'(\mathbf{v}) = \frac{D(\mathbf{v})W(\mathbf{v}) - w_i(\mathbf{v})d_i(\mathbf{v})}{W(\mathbf{v}) - w_i(\mathbf{v})}$$

$$W'(\mathbf{v}) = W(\mathbf{v}) - w_i(\mathbf{v}).$$



Keyframe-based Fusion

- 对于新来的一帧 F_i
 - 如果是关键帧,则integrate到TSDF

$$\mathbf{D}'(\mathbf{v}) = \frac{\mathbf{D}(\mathbf{v})\mathbf{W}(\mathbf{v}) + w_i(\mathbf{x}) \min(\mu, \phi(\mathbf{x}))}{\mathbf{W}(\mathbf{v}) + w_i(\mathbf{x})}, \mathbf{W}'(\mathbf{v}) = \mathbf{W}(\mathbf{v}) + w_i(\mathbf{x}),$$

- 如非关键帧, 则选出重合度最大的关键帧 F_{k_i} 进行de-integrate

$$\mathbf{D}'(\mathbf{v}) = \frac{\mathbf{D}(\mathbf{v})\mathbf{W}(\mathbf{v}) - w_i(\mathbf{x}) \min(\mu, \phi(\mathbf{x}))}{\mathbf{W}(\mathbf{v}) - w_i(\mathbf{x})}, \mathbf{W}'(\mathbf{v}) = \mathbf{W}(\mathbf{v}) - w_i(\mathbf{x}).$$

- 然后将该帧深度fuse到 F_{k_i} 上
- 然后将fuse后的关键帧re-integrate到TSDF

$$D'(\mathbf{y}) = \frac{w_{K_i}(\mathbf{y})D_{K_i}(\mathbf{y}) + w_i(\mathbf{x})z_{\mathbf{x}}^{i \rightarrow K_i}}{w_{K_i}(\mathbf{y}) + w_i(\mathbf{x})}, w_{K_i} = w_{K_i}(\mathbf{y}) + w_i(\mathbf{x}).$$

Keyframe-based Fusion

- 当关键帧的姿态发生改变（EIBA优化后）
 - 根据EIBA的优化结果，对姿态改变的关键帧进行re-integration.
 - 维护一个关键帧更新队列
 - 优先更新姿态改变最大的关键帧；
 - 每个时刻只对固定数量的关键帧进行re-integration，没有更新的关键帧会在放在后面的时刻更新。

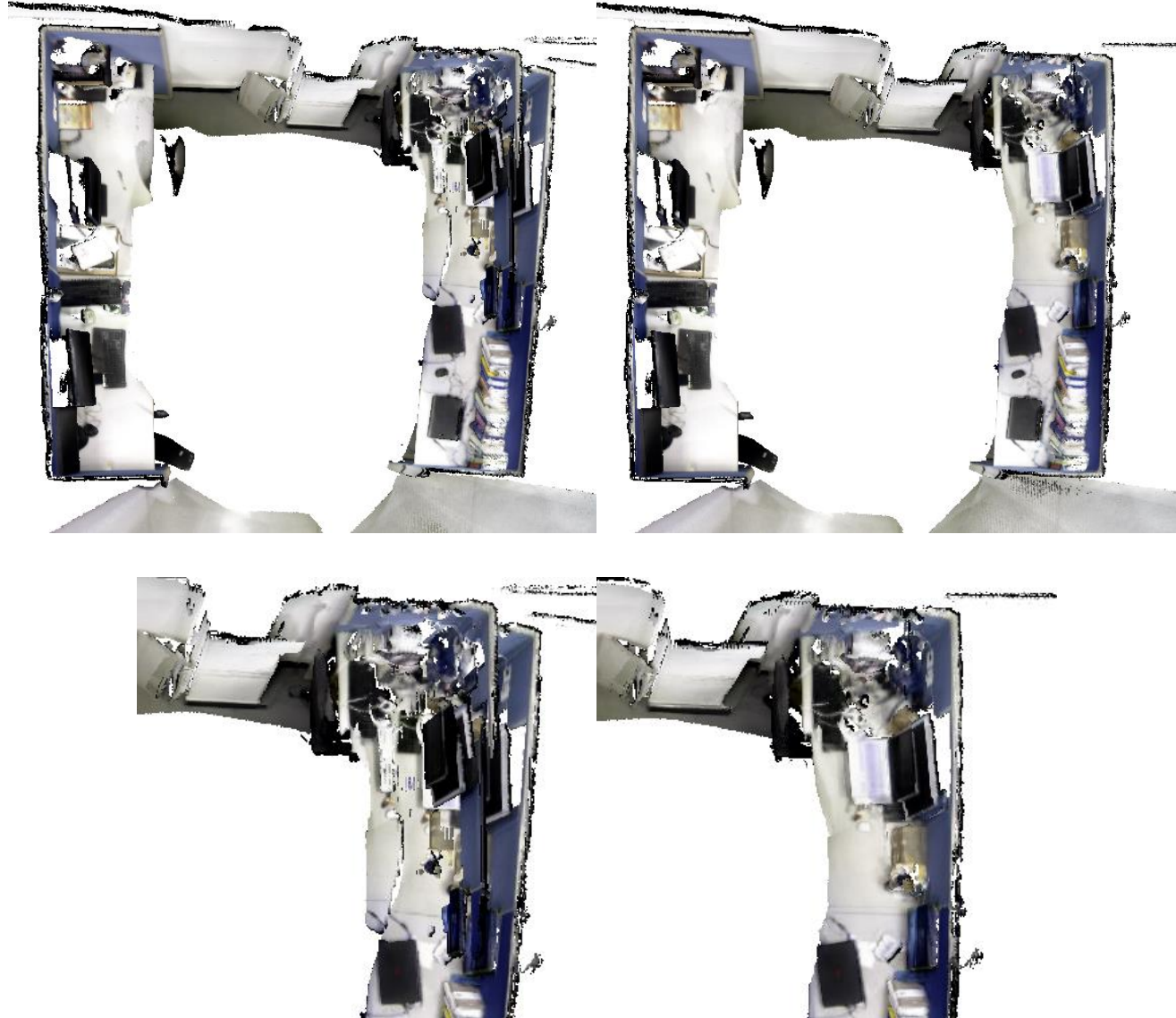
Comparison of ATE RMSE on all of the sequences on TUM RGB-D Benchmark

	Ours (all frames)	Ours (key frames)	Kintinuous	ElasticFusion	DVO-SLAM	RGB-D SLAM	MRSMap	BundleFusion
fr1_360	13.0cm	10.9cm		10.8cm	8.3cm			
fr1_desk	2.5cm	2.1cm	3.7cm	2.0cm	2.1cm	2.3cm	4.3cm	1.6cm
fr1_desk2	2.8cm	2.4cm	7.1cm	4.8cm	4.6cm	4.3cm	4.9cm	
fr1_floor	325.3cm	26.2cm		-				
fr1_plant	5.0cm	3.8cm	4.7cm	2.2cm	2.8cm	9.1cm	2.6cm	
fr1_room	14.8cm	13.4cm	7.5cm	6.8cm	5.3cm	8.4cm	6.9cm	
fr1_rpy	2.2cm	3.7cm	2.8cm	2.5cm	2.0cm	2.6cm	2.7cm	
fr1_teddy	18.7cm	15.7cm		8.3cm	3.4cm			
fr1_xyz	1.0cm	0.7cm	1.7cm	1.1cm	1.1cm	1.4cm	1.3cm	
fr2_360_hemisphere	37.6cm	31.1cm		-				
fr2_360_kidnap	132.6cm	6.1cm		-				
fr2_coke	17.2cm	20.2cm		-				
fr2_desk	7.2cm	7.1cm	3.4cm	7.1cm	1.7cm	5.7cm	5.2cm	
fr2_dishes	8.4cm	7.9cm		-				
fr2_large_no_loop	-	-		-			8.6cm	
fr2_large_with_loop	198.3cm	196.7cm		-				
fr2_metallic_sphere	34.1cm	44.3cm		-				
fr2_metallic_sphere2	11.1cm	8.4cm		-				
fr2_pioneer360	40.5cm	35.8cm		-				
fr2_pioneer_slam	91.2cm	85.5cm		-				
fr2_pioneer_slam2	169.7cm	3.3cm		-				
fr2_pioneer_slam3	28.1cm	19.1cm		-				
fr2_rpy	0.8cm	0.6cm		1.5cm				
fr2_xyz	1.2cm	1.2cm	2.9cm	1.1cm	1.8cm	0.8cm	2.0cm	1.1cm
fr2_flowerbouquet	7.0cm	5.0cm						
fr2_flowerbouquet_brownbackground	53.3cm	51.7cm						
fr2_desk_with_person	4.7cm	4.5cm						
fr3_cabinet	39.9cm	7.9cm		-				
fr3_large_cabinet	20.9cm	14.8cm		9.9cm				
fr3_long_office_household	3.2cm	2.8cm	3.0cm	1.7cm	3.5cm	3.2cm	4.2cm	2.2cm
fr3_nostructure_notexture_far	-	-		-				
fr3_nostructure_notexture_near_with_loop	-	-		-				
fr3_nostructure_texture_far	10.8cm	5.3cm		7.4cm				
fr3_nostructure_texture_near_withloop	2.9cm	2.7cm	3.1cm	1.6cm	1.8cm	1.7cm	201.8cm	1.2cm
fr3_structure_notexture_far	-	-		3.0cm				
fr3_structure_notexture_near	-	-		2.1cm				
fr3_structure_texture_far	1.8cm	1.6cm		1.3cm				
fr3_structure_texture_near	1.6cm	1.8cm		1.5cm				
fr3_nostructure_notexture_near	-	-						
fr3_teddy	-	-		4.9cm				
fr3_sitting_xyz	2.1cm	1.7cm						
fr3_walking_xyz	2.8cm	2.4cm						
fr3_sitting_halfsphere	1.7cm	1.9cm						
fr3_sitting_static	1.3cm	0.9cm						
fr3_walking_static	5.2cm	3.9cm						
fr3_walking_rpy	42.0cm	33.7cm						
fr3_sitting_rpy	2.7cm	4.1cm						
fr3_walking_halfsphere	25.6cm	18.2cm						

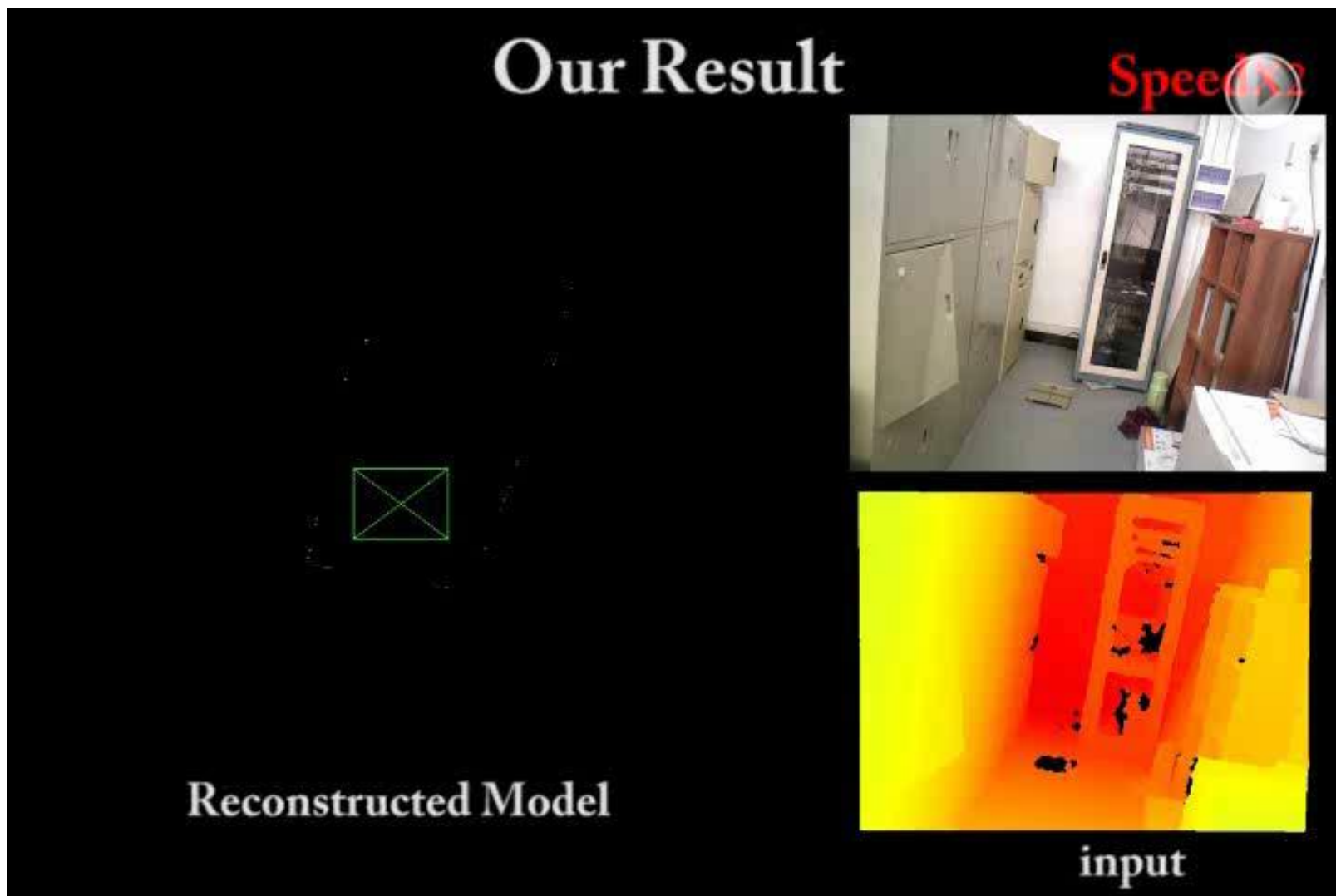
Reconstruction Result



Comparations without/with Re-integration

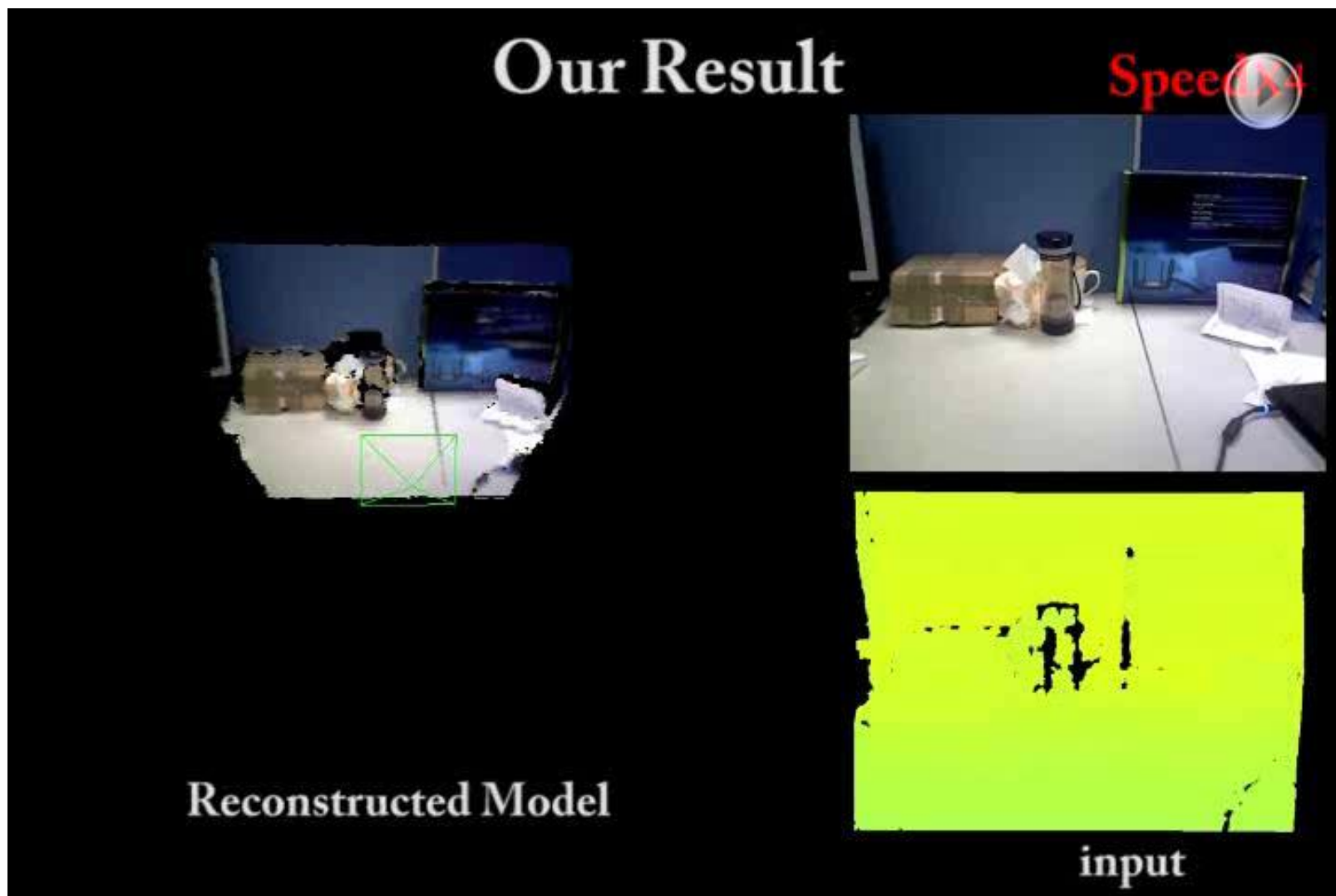


鲁棒处理快速运动



<https://arxiv.org/abs/1711.05166>

在线的回路闭合和三维表面调整



<https://arxiv.org/abs/1711.05166>

推荐开源系统

- Kintinuous
 - <https://github.com/mp3guy/Kintinuous>
- InfiniTAM
 - <https://github.com/victorprad/InfiniTAM>
- ElasticFusion
 - <https://github.com/mp3guy/ElasticFusion>
- BundleFusion
 - <https://github.com/niessner/BundleFusion>

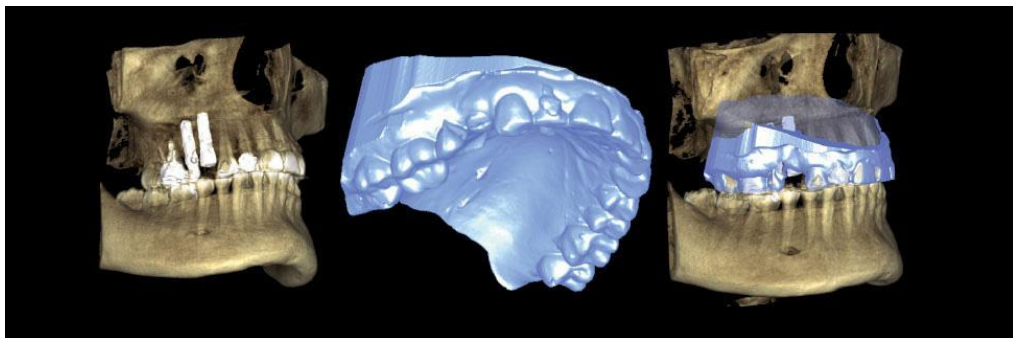
产业化落地

RGBD-SLAM的产业应用

- 落地场景
 - 商用级三维扫描重建
 - 移动端三维扫描重建
 - 移动端增强现实
- 难点和挑战
 - 深度质量
 - 平台算力
 - 复杂场景
 - 高反光
 - 透明
 - 运动物体

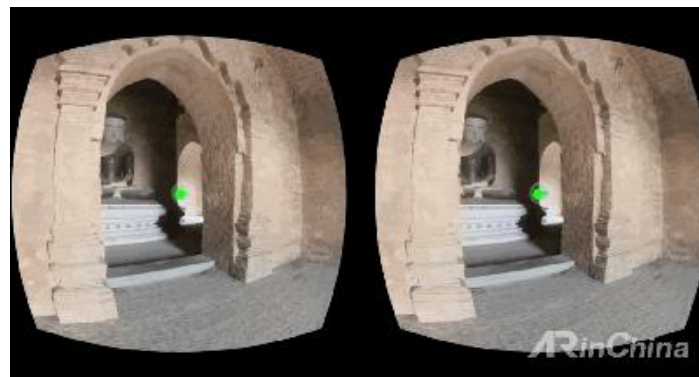
商用级三维扫描重建

- 针对物体的扫描
- 应用领域
 - 考古研究数字化保护
 - 高仿真玩具
 - 医疗诊断



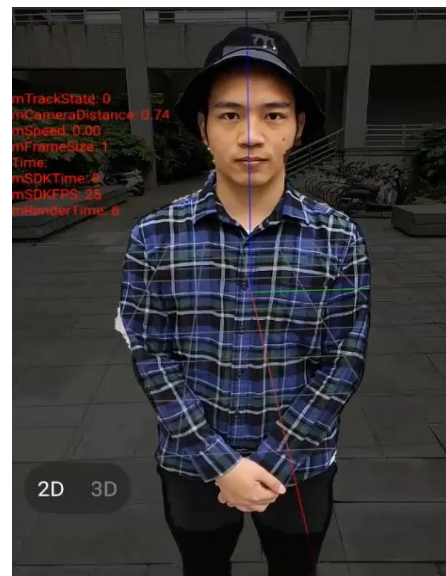
商用级三维扫描重建

- 针对环境的扫描
- 应用领域
 - 三维场景展示漫游



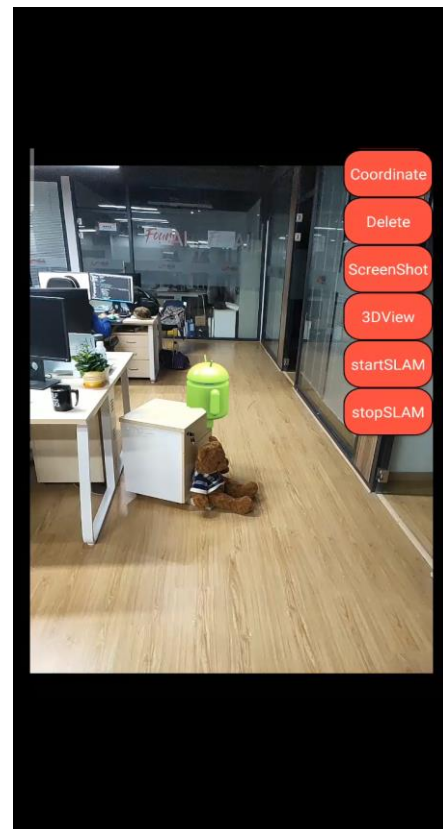
移动端三维物体扫描重建

- 手机端在线扫描技术
 - AR内容生成创作
 - 手机平台实时扫描
 - 快速三维重建
 - 几何重建
 - 纹理贴图



移动平台增强现实

- SenseAR RGBD-SLAM
- SenseAR实时稠密三维环境重建
 - 虚实交互
 - 物理碰撞
 - 遮挡处理
 - 复杂阴影投射



Thank you!

Q & A